



การออกแบบที่เหมาะสมของคานคอนกรีตเสริมเหล็กรับโมเมนต์ดัดร่วมกับโมเมนต์บิดโดยใช้ขั้นตอนวิธีจิงโจ้น้ำ

อัศนัย ทาภา^{1*} และ เรืองรุชต์ ชีระโรจน์²

บทคัดย่อ

งานวิจัยนี้นำเสนอการออกแบบที่เหมาะสมของคานคอนกรีตเสริมเหล็กรับโมเมนต์ดัดร่วมกับโมเมนต์บิดโดยใช้วิธีจิงโจ้น้ำ วัตถุประสงค์ของงานวิจัยคือการออกแบบคานที่มีความประหดดและสอดคล้องกับมาตรฐานการออกแบบของ ACI318-11 การศึกษาครั้งนี้ได้สร้างขั้นตอนการออกแบบที่เหมาะสมขึ้นโดยใช้ Microsoft Visual Studio 2019 และประเมินประสิทธิภาพการออกแบบกับตัวอย่างคานจำนวน 3 ตัวอย่าง ผลการทดลองพบว่า วิธีจิงโจ้น้ำสามารถประยุกต์ใช้สำหรับการออกแบบที่เหมาะสมของคานคอนกรีตเสริมเหล็กรับโมเมนต์ดัดร่วมกับโมเมนต์บิดได้ ซึ่งผลการออกแบบมีความประหดกว่าวิธีการออกแบบทั่วไปเฉลี่ยร้อยละ 21.4 นอกจากนี้ การเลือกใช้จำนวนรอบสูงสุดเท่ากับ 350 รอบและจำนวนจิงโจ้น้ำสูงสุด 300 ตัว ได้รับผลการทดสอบทางสถิติที่ดีที่สุดในการออกแบบคานคอนกรีตเสริมเหล็ก

คำสำคัญ: คานคอนกรีตเสริมเหล็ก; การออกแบบที่เหมาะสม; โมเมนต์บิด; โมเมนต์ดัด; วิธีจิงโจ้น้ำ

รับพิจารณา: 21 มีนาคม 2565

แก้ไข: 21 เมษายน 2565

ตอบรับ: 17 พฤษภาคม 2565

¹ ผู้ช่วยศาสตราจารย์ สาขาวิชาวิศวกรรมโยธา คณะวิศวกรรมศาสตร์ มหาวิทยาลัยเทคโนโลยีราชมงคลอีสาน วิทยาเขตขอนแก่น

² รองศาสตราจารย์ สาขาวิชาวิศวกรรมโยธา คณะวิศวกรรมศาสตร์ มหาวิทยาลัยมหาสารคาม

* ผู้นําพนธ์ประจำงาน อีเมล: assanai.tapao@gmail.com



Optimum Design of Reinforced Concrete Beams for Bending Moment and Torsion using Water Strider Algorithm

Assanai Tapao^{1*} and Raungrut Cheerarot²

Abstract

This research presents the optimal design of torsional reinforced concrete beams for bending moment and torsion using a water strider algorithm. The objective of the research is to design a beam that is economical and according to ACI318-11 standard. This study establishes the optimal design process using Microsoft Visual Studio 2019 and evaluates the performance with three samples of beams. The results showed that the water strider algorithm can apply for the optimum design of reinforced concrete beams for bending moment and torsion, which the design results have more economic than the conventional method by 21.4 %. In addition, the selection of the maximum number of iterations is 350 and the maximum number of water striders is 300 individuals obtain best statistical results in reinforced concrete beam design.

Keywords: reinforced concrete beam design; optimum design; torsion; bending; water strider algorithm

Received: March 21, 2022

Revised: April 21, 2022

Accepted: May 17, 2022

¹ Assistant Professor, Field of Civil Engineering, Faculty of Engineering, Rajamangala University of Technology Isan,
Khon Kaen Campus

² Associate Professor, Field of Civil Engineering, Faculty of Engineering, Mahasarakham University

* Corresponding Author, e-mail: assanai.tapao@gmail.com



1. บทนำ

ขั้นตอนวิธีจิงโจ้น้ำ (Water strider algorithm: WSA) คือ วิธีแก้ปัญหาที่เหมาะสมกับการหนึ่งที่จำลองมาจากกระบวนการใช้ชีวิตตามธรรมชาติของจิงโจ้น้ำ ด้วยความที่มันมีขนาดเล็กจึงทำให้มันสามารถอาศัยอยู่บนผิวน้ำได้ด้วยแรงตึงผิวของน้ำ และด้วยขาขนาดเล็กทำให้พกมันเดินอยู่เหนือพื้นผิวน้ำได้ ระหว่างช่วงชีวิตจะเกิดกลไกของการเคลื่อนไหว การสื่อสาร และกลุ่มอาการทางพฤติกรรมเป็นลักษณะเฉพาะอื่น ๆ ของพกมัน [1] วิธี การนี้ถูกนำเสนอครั้งแรกโดย Kaveh และคณะในปี ค.ศ. 2020 [2] โดยแสดงให้เห็นถึงประสิทธิภาพการแก้ปัญหาที่เหมาะสมของฟังก์ชันมาตรฐาน (Benchmark function) จำนวน 44 ฟังก์ชัน [3] และการแก้ปัญหาทางวิศวกรรมหลายปัญหา เช่น ปัญหารออกแบบคานเชื่อม (Welded beam design) [4] ปัญหารออกแบบโครงข้อหมุน 3 ชิ้นส่วน (Three-bar truss design) [5] ปัญหาการออกแบบเกียร์ทดรอบ (Compound gear design) [6] และอื่นๆ [7-9] เป็นต้น

จากประสิทธิภาพการแก้ปัญหาที่เหมาะสมของ WSA ข้างต้นพบว่า WSA เป็นวิธีที่มีประสิทธิภาพสามารถดัดแปลงและใช้แก้ปัญหาได้อย่างหลากหลาย ดังนั้น งานวิจัยนี้จึงมีความสนใจในการประยุกต์ใช้ WSA สำหรับออกแบบที่เหมาะสมของคานคอนกรีตเสริมเหล็ก ที่รับ荷重ตัวตื้ดและแรงเฉือนร่วมกับ荷重ตัวตื้ด โดยมีวัตถุประสงค์คือการเลือกพารามิเตอร์ของ WSA ที่ทำให้ผลการออกแบบมีความประยุกต์ที่สุด มีความปลอดภัยและสอดคล้องมาตรฐาน ACI318-11 [10] สำหรับอาคารคอนกรีตเสริมเหล็ก

2. ข้อกำหนดการออกแบบคานคอนกรีตเสริมเหล็ก

มาตรฐานการออกแบบของ ACI ได้กำหนดสมการที่ (1) สำหรับพิจารณาการออกแบบกำลังรับ荷重ตัวตื้ด ถ้าหากค่า荷重ตัวตื้ดประลัย (T_{cr}) ที่กระทำมีค่าน้อยกว่า ร้อยละ 25 ของสมการที่ (1) หรือเป็นไปตามสมการที่ (2) ผู้ออกแบบไม่จำเป็นต้องคำนวณผลของ荷重ตัวตื้ดในคาน

$$T_{cr} = 1.1 \sqrt{f'_c} \frac{A_{cp}^2}{P_{cp}} \quad (1)$$

เมื่อ T_{cr} คือ 荷重ตัวตื้ด (กก. - ม.) f'_c คือ กำลังรับแรงอัดของคอนกรีต (กก./ซม.²) A_{cp} คือ พื้นที่หน้าตัดของคาน (ซม.²) และ P_{cp} คือ เส้นรอบวงหน้าตัดคาน (ซม.)

$$T_u \leq \frac{\phi T_{cr}}{4} \quad (2)$$

สมการสำหรับคำนวณกำลังรับ荷重ตัวตื้ดในคาน (T_n) ตามสมการที่ (3)

$$\phi T_n = \phi \frac{2 A_t f_v A_0}{s} \quad (3)$$

เมื่อ ϕ คือ ตัวคูณลดกำลังตามมาตรฐาน ACI ซึ่งมีค่าเท่ากับ 0.85 ค่า A_t คือ พื้นที่หน้าตัดของเหล็กปลอกขาเดียว f_v คือ กำลังที่จุดครากของเหล็กปลอก (กก./ซม.²) s คือ ระยะเรียงของเหล็กปลอก (ซม.) และ A_0 คือ พื้นที่ร้อยละ 85 ของพื้นที่หน้าตัดคาน (ซม.²) ที่อยู่ภายใต้กรอบของเหล็กปลอก (A_{oh}) ซึ่งคำนวณได้จากการที่ (4)

$$A_0 = 0.85 A_{oh} \quad (4)$$

การคำนวณกำลังรับ荷重ตัวตื้ดในหน้าตัดคานกำหนดใช้เป็นสมการที่ (5)

$$\phi M_n = \phi A_s f_y \left(d - \frac{a}{2} \right) \quad (5)$$

เมื่อ M_n คือ กำลังรับ荷重ตัวตื้ดของหน้าตัด เมื่อพิจารณาจากแรงดึงในเหล็กเสริมในคาน (กก. - ม.) A_s คือ ปริมาณเหล็กเสริมของเหล็กต้าน荷重ตัวตื้ด (ซม.²) f_y คือ กำลังรับแรงดึงที่จุดครากของเหล็กเสริมต้านทาน荷重ตัวตื้ด (กก./ซม.²) d คือ ค่าความลึกประสีที่ตัวตื้ด (ซม.) และ a คือ ค่าความลึกของกล่องหน่วยแรงรูปสี่เหลี่ยมตามมาตรฐาน (ซม.) ซึ่งสามารถคำนวณได้จากการที่ (6)

$$a = \frac{A_s f_y}{0.85 f'_c b} \quad (6)$$

เมื่อ b คือ ขนาดด้านกว้างของหน้าตัดคาน (ซม.)

สมการสำหรับตรวจสอบกำลังรับแรงเฉือนและ荷重ตัวตื้ดของเหล็กปลอกถูกกำหนดให้เป็นไปตามสมการที่ (7) ซึ่งเป็นสมการผลรวมของหน่วยแรงเฉือนและแรงบิดที่เกิด



จากหน่วยแรงเฉือนและหน่วยแรงบิดจะต้องมีค่าน้อยกว่าหรือเท่ากับค่าที่ยอมให้ตามสมการที่ (8)

$$\tau_{vt} = \sqrt{\left(\frac{V_u}{bd}\right)^2 + \left(\frac{T_u P_h}{1.7 A_{0h}}\right)^2} \quad (7)$$

เมื่อ τ_{vt} คือ หน่วยแรงเฉือนร่วมกับโมเมนต์บิดที่เกิดจากหน่วยแรงเฉือนและหน่วยแรงบิด (กก./ซม.²) V_u คือ แรงเฉือนประดับที่กระทำ b คือ ความกว้างของหน้าตัดคาน (ซม.) d คือ ความลึกประสีติผลของคาน (ซม.) และ P_h คือ ความยาวรอบรูปของเหล็กปลอก (ซม.)

$$\tau_{vt,allow} = \phi \left(\frac{V_c}{bd} + 2.1 \sqrt{f'_c} \right) \quad (8)$$

เมื่อ $\tau_{vt,allow}$ คือ หน่วยแรงเฉือนร่วมกับโมเมนต์บิดที่คานรับได้ V_c คือ กำลังรับแรงเฉือนที่ยอมให้ของคอนกรีต (กก.) ซึ่งคำนวณได้จากการที่ (9)

$$V_c = 0.53 \sqrt{f'_c} bd \quad (9)$$

ปริมาณเหล็กเสริมในแนวอนสำหรับต้านทานโมเมนต์ดัดจะต้องมีค่าที่มากกว่าสมการที่ (10)

$$A_{s,min} = \frac{14}{f_y} bd \quad (10)$$

พื้นที่หน้าตัดเหล็กเสริมสำหรับรับแรงเฉือนร่วมกับโมเมนต์บิดขั้นต่ำ หรือ $A_{v,min}$ (ซม.²) ถูกกำหนดเป็นสมการที่ (11)

$$A_{v,min} = \frac{3.5bs}{f_v} \quad (11)$$

ปริมาณเหล็กเสริมตามยาวขั้นต่ำ หรือ $A_{l,min}$ (ซม.²) สำหรับต้านทานโมเมนต์บิดสามารถคำนวณได้จากการที่ (12)

$$A_{l,min} = \frac{1.33 \sqrt{f'_c A_{cp}}}{f_y} - \frac{A_t}{s} P_h \frac{f_v}{f_y} \quad (12)$$

เมื่อ A_t คือ พื้นที่หน้าตัดของเหล็กปลอกขาเดียว (ซม.²) โดยที่ A_t/s ต้องมีค่าที่สอดคล้องกับสมการที่ (13)

$$\frac{A_t}{s} \leq 1.76 \frac{b}{f_y} \quad (13)$$

สำหรับปริมาณเหล็กเสริมสูงสุดในหน้าตัดที่ยอมให้หรือ $A_{s,max}$ (ซม.²) ถูกกำหนดให้เป็นไปตามสมการที่ (14)

$$A_{s,max} = 0.75 \left(\frac{0.85 f'_c \beta_1}{f_y} \right) \left(\frac{6120}{6120 + f_y} \right) bd \quad (14)$$

เมื่อ β_1 จะมีค่าเท่ากับ 0.85 เมื่อ f'_c ไม่เกิน 280 กก./ซม.² ถ้าหากเกินกว่านี้ให้คำนวณโดยใช้สมการที่ (15) ซึ่งหากคำนวณแล้วได้ค่าที่น้อยกว่า 0.65 จะต้องเลือกใช้เท่ากับ 0.65

$$\beta_1 = 0.85 - 0.05 \left(\frac{f'_c - 280}{70} \right) \quad (15)$$

3. วิธีจิงเจี้ยน

ลำดับขั้นตอนการแก้ปัญหาที่เหมาะสมของวิธีจิงเจี้ยน หรือ WSA ประกอบไปด้วยกระบวนการทำซ้ำ 4 ส่วน ที่สำคัญประกอบด้วย การเกิด (Initial birth) การผสมพันธุ์ (Mating) การหาอาหาร (Feeding) ตายและสร้างทายาทใหม่ (Dead and succession) โดยมีลำดับดังรูปที่ 1 ซึ่งในแต่ละส่วนได้อธิบายไว้ตามหัวข้ออย่างดังต่อไปนี้

Water strider algorithm

```

Initial birth
While (terminating condition is not met) do
    Mating
    Feeding
    Dead and succession
End
Return WSoptimum

```

รูปที่ 1 ขั้นตอนการทำงานในรูปแบบรหัสเทียมของ WSA

3.1 การเกิด

จิงเจี้ยน (Water strider, WS) จะเกิดมาพร้อมกับไข่ที่กระจายอยู่ในทะเลสาบในลักษณะการแจกแจงแบบสุ่มดังสมการที่ (16)

$$WS_i^0 = L_{bound} + rand \times (U_{bound} - L_{bound}) \quad (16)$$



เมื่อ WS_i^t คือ การกำหนดตำแหน่งเริ่มต้นของจิงโจ้น้ำ ลำดับที่ i ค่า Rand คือ ค่าสุ่มระหว่าง 0 ถึง 1 ค่า L_{bound} คือ ขอบเขตล่างหรือค่าตำแหน่งสุดของปัญหา และ U_{bound} คือ ขอบเขตบนหรือค่าสูงสุดของปัญหา

3.2 การผสมพันธุ์

การผสมพันธุ์เป็นขั้นตอนการสร้างคำตอบใหม่ด้วย การจับคู่ของตัวผู้และตัวเมีย ความน่าจะเป็นของการ จับคู่สำเร็จเท่ากับ p และเพื่อความง่ายต่อการใช้งาน ค่า p ถูกกำหนดเป็นร้อยละ 50 นั่นคือ การจับคู่ผสมพันธุ์มี โอกาสสำเร็จร้อยละ 50 ซึ่งคำนวนได้จากการที่ (17) และกรณีอื่นๆ คือการผสมพันธุ์ไม่สำเร็จ

$$WS_i^{t+1} = \begin{cases} WS_i^t + R.rand & \text{mating happen} \\ WS_i^t + R.(1+rand) & \text{otherwise} \end{cases} \quad (17)$$

เมื่อ WS_i^{t+1} คือ ตำแหน่งใหม่ของจิงโจ้น้ำ WS_i^t คือ ตำแหน่งปัจจุบันของจิงโจ้น้ำ และ R คือเวกเตอร์ที่มี จุดเริ่มต้นอยู่ที่ตำแหน่งของตัวผู้และตำแหน่งของตัวเมีย ในผู้เดียวกันซึ่งคำนวนได้จากการที่ (18)

$$R = WS_F^{t-1} - WS_i^{t-1} \quad (18)$$

เมื่อ WS_F^{t-1} คือ ตำแหน่งของตัวเมีย และ WS_i^{t-1} คือ ตำแหน่งของตัวผู้

3.3 การอาหาร

ในการประเมินตำแหน่งของอาหารนั้น จะประเมิน จากฟังก์ชันวัตถุประสงค์ หากค่าของฟังก์ชันวัตถุประสงค์ ดีกว่าค่าป้าจุบัน แสดงว่าได้พับแหล่งอาหารแล้ว แต่ถ้า ค่าฟังก์ชันวัตถุประสงค์ย่อกว่าค่าป้าจุบัน ก็ควรย้ายไปสู่ แหล่งที่อยู่อาศัยรอบๆ จิงโจ้น้ำที่ดีที่สุดตามสมการที่ (19)

$$WS_i^{t+1} = WS_i^t + 2rand.(WS_{BL}^t - WS_i^t) \quad (19)$$

เมื่อ WS_{BL}^t คือ ตำแหน่งของจิงโจ้น้ำที่มีฟังก์ชัน วัตถุประสงค์ดีที่สุด

3.4 ตายและสร้างทายาทใหม่

หากค่าฟังก์ชันวัตถุประสงค์ใหม่แย่ลงกว่าเดิม WS จะตาย และตำแหน่งของมันจะถูกสุ่มเริ่มต้นภายใน ขอบเขตของปัญหาตามสมการที่ (20)

$$WS_i^{t+1} = L_{bound} + Rand \times (U_{bound} - L_{bound}) \quad (20)$$

ในขั้นตอนสุดท้ายของอัลกอริทึม หากงานครบตาม เงื่อนไขการสิ้นสุด อัลกอริทึมจะหยุดและแสดงคำตอบที่ เหมาะสมที่สุด แต่ถ้าเงื่อนไขยังไม่ครบ มันจะกลับไปที่ ขั้นตอนการผสมพันธุ์เพื่อวนรอบใหม่ของวงจรชีวิต

4. ขอบเขตการดำเนินงานวิจัย

4.1 ขอบเขตการออกแบบ

งานวิจัยนี้ใช้โปรแกรมออกแบบที่เหมาะสมโดยใช้ Microsoft visual studio 2019 ด้วยเครื่องคอมพิวเตอร์ ระบบปฏิบัติการวินโดว์ 10 แบบ 64 บิต และมีขอบเขต การทำงานตามตารางที่ 1 ประกอบด้วย f'_c ที่เลือกได้ เท่ากับ 140 180 210 240 280 300 320 350 380 420 และ 450 กก./ซม.² f_y ที่เลือกได้เท่ากับ 3,000 4,000 และ 5,000 กก./ซม.² เหล็กเสริมคอนกรีตหักในส่วนของ การรับ荷ะเม่นต์ดัด และ荷ะเม่นต์บิดมีตั้งแต่ DB12 DB16 DB20 DB25 DB28 DB32 DB36 และ DB40 จำนวน เหล็กเสริมมีตั้งแต่ 2 เส้น ไปจนถึง 20 เส้น/ชั้น ปรับเพิ่ม ครั้งละ 1 เส้น ส่วนของเหล็กเสริมรับแรงเฉือนกำหนดใช้ DB10 DB12 และ DB16 มีระยะเรียงตั้งแต่ 100 มม. ไป จนถึง 500 มม. โดยปรับเพิ่มครั้งละ 25 มม.

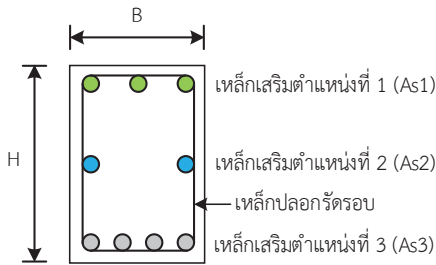
ตารางที่ 1 ตัวแปรและขอบเขตของการออกแบบ

ตัวแปรออกแบบ	ต่ำสุด	ปรับเพิ่ม ครั้งละ	ค่าสูงสุด
f'_c (กก./ซม. ²)	140	*	450
f_y (กก./ซม. ²)	3,000	1,000	5,000
B (ซม.)	20	5	1.000
H (ซม.)	20	5	1.000
ชนิดเหล็กเสริมแนวนอน	DB12	-	DB40
จำนวนเหล็กเสริมแนวนอน (เส้น/ชั้น)	2	1	20
ขนาดเหล็กปลอก	DB10	-	DB16
ระยะเรียงเหล็กปลอก (มม.)	100	25	500

*หมายเหตุ ตามกำลังอัดที่กำหนด

รายละเอียดการเสริมเหล็กในหน้าตัดคาน แบ่ง ออกเป็น 4 ตำแหน่ง ดังรูปที่ 2 ได้แก่ ตำแหน่งที่ 1 เหล็ก เสริมในแนวโนนสำหรับรับ荷ะเม่นต์ดัดชั้นบนสุด (As1) ตำแหน่งที่ 2 เหล็กเสริมรับ荷ะเม่นต์บิดร่วมกับ荷ะเม่นต์บิด

(As2) ตำแหน่งที่ 3 เหล็กเสริมรับโน้มเน้นตัด (As3) และ ตำแหน่งที่ 4 เหล็กป้องกันแรงเฉือนร่วมกับโน้มเน้นตัด



รูปที่ 2 รายละเอียดการเสริมเหล็กในหน้าตัดคาน

4.2 สมการเป้าหมาย

พึงշันวัตถุประสงค์ของงานวิจัยคือ พึงชันรวมของราคาได้แก่ ราคากอนกรีต เหล็กเสริมในคอนกรีตและแบบหล่อที่ทำให้ผลการออกแบบมีความประหยัดมากที่สุดตามสมการที่ (21)

$$F_{cost} = \text{Min} \sum V_C C_C + V_S C_S + V_F C_F \quad (21)$$

เมื่อ V_C V_S และ V_F คือ ปริมาณของ คอนกรีต (ม.^3) เหล็กเสริม (กก.) และแบบหล่อ (ม.^2) ตามลำดับ สำหรับ C_C C_S และ C_F คือ ราคายังหน่วยของคอนกรีต (บาท/ ม.^3) เหล็กเสริม (บาท/กก.) และแบบหล่อ (บาท/ ม.^2) ตามลำดับ

ราคายังหน่วยของวัสดุรวมค่าแรงสำหรับใช้คำนวน กำหนดเป็นดังนี้คือ ราคากอนกรีตผสมเสริม (C_C) กำหนดใช้ราคามาตรฐานที่ (22) หน่วยเป็นบาท/ ม.^3 ราคแบบหล่อเท่ากับ 626 บาท/ ม.^2 เหล็กเสริมระดับชั้น SD30 SD40 และ SD50 กำหนดเป็น 22.30 22.80 และ 23.20 บาท/กก. ตามลำดับ ราคายังหนึ่งน้ำมานจากบัญชีราคายังวัสดุก่อสร้างและค่าแรงงานสำหรับอาคารเรียนในสังกัดสำนักงานการศึกษาขั้นพื้นฐานปีงบประมาณ พ.ศ. 2563 [11] ซึ่งราคายังหนึ่งสามารถปรับเปลี่ยนได้ตามความเหมาะสมของแต่ละท้องที่

$$C_C = 1.406 f'_c + 2400.1 \quad (22)$$

4.3 ขั้นตอนการออกแบบที่เหมาะสม

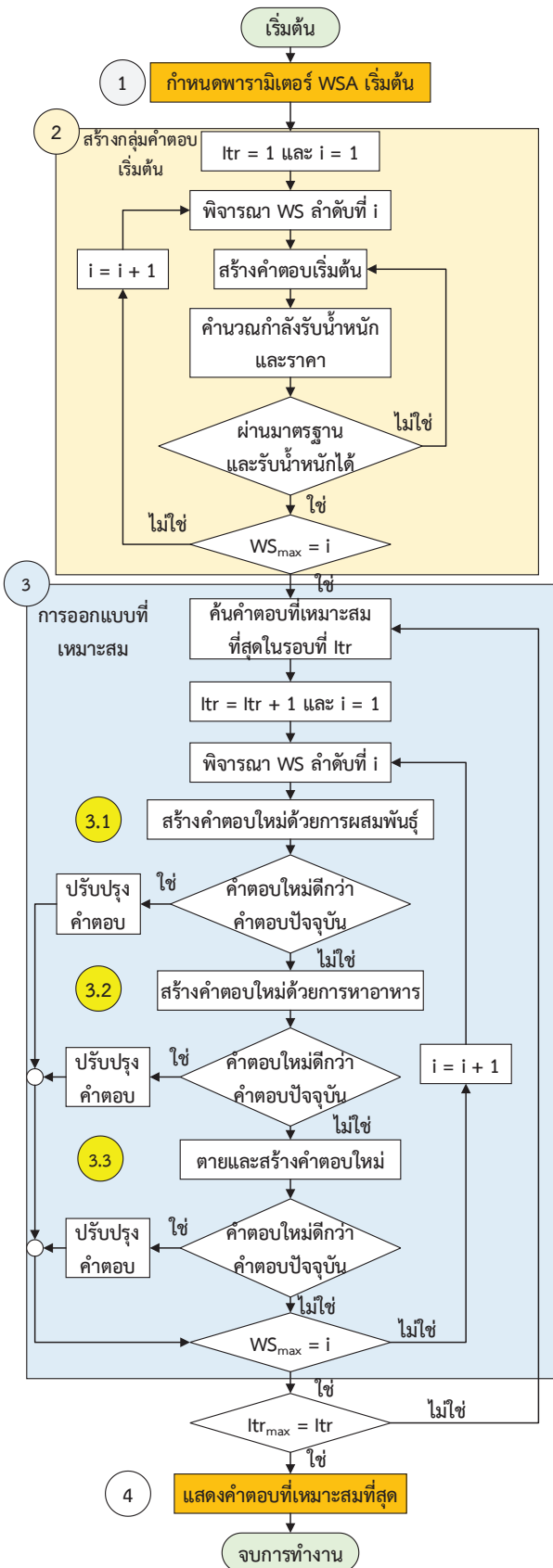
การออกแบบคานคอนกรีตเสริมเหล็กรับโน้มเน้นตัดร่วมกับโน้มเน้นตัดมีลำดับขั้นตอนดังรูปที่ 3 ซึ่งการทำงานแต่ละขั้นตอนสามารถอธิบายได้ดังนี้

1) เริ่มต้นด้วยการกำหนดกำลังต้านทานแรงภายในประลักษณ์หน้าตัด (โน้มเน้นตัด โน้มเน้นตัด และแรงเฉือน) จากนั้นกำหนดค่าพารามิเตอร์ของ WSA ได้แก่ จำนวนจิงโจ้สูงสุด (WS_{max}) จำนวนรอบการทำงานทำงานสูงสุด (Itr_{max})

2) ขั้นตอนการสร้างกลุ่มคำตอบเริ่มต้น เป็นขั้นตอนสร้างคำตอบที่เป็นไปได้แบบสุ่มอย่างกว้างซึ่งจะทำการสุ่มไปเรื่อย ๆ จนกว่าทุกคำตอบที่สร้างได้สอดคล้องกับมาตรฐานการออกแบบ รับหน้าที่โดยง่ายปลอดภัยและจำนวนคำตอบมีค่าเท่ากับ WS_{max} พร้อมกับการกำหนดรอบการทำงานเป็นรอบที่ 1

3) ขั้นตอนการออกแบบที่เหมาะสม คำตอบใหม่จะถูกสร้างขึ้นด้วย 3 ขั้นตอน นั่นคือ ขั้นตอนที่ 3.1 การสร้างคำตอบด้วยการผสมพันธุ์ตามสมการที่ (17) ถ้าหากคำตอบที่สร้างมายังไม่ได้ขึ้น ต้องมีการสร้างคำตอบอีกครั้งด้วยการออกแบบใหม่โดยใช้สมการที่ (20) ตามขั้นตอนที่ 3.3 ในแต่ละขั้นตอน หากคำตอบใหม่มีราคายังประหยัดกว่าคำตอบเดิม คำตอบเดิมจะถูกแทนที่ทันที จากนั้น กระบวนการเหล่านี้จะวนทำซ้ำอีกครั้งจนกว่าจำนวนรอบการทำงานปัจจุบันจะเท่ากับ Itr_{max}

4) ค้นหาคำตอบที่เหมาะสมที่สุดในกลุ่มคำตอบ ทั้งหมดจากการทำงานในรอบสุดท้ายและแสดงผลของคำตอบ



รูปที่ 3 ลำดับขั้นตอนการออกแบบที่เหมาะสม

6. ตัวอย่างที่ใช้ทดสอบ

ตัวอย่างทดสอบการออกแบบน้ำมานาจาก Macginley และ Choo [12] จำนวน 3 ตัวอย่าง มีรายละเอียดดัง แสดงในตารางที่ 2 เป็นตัวอย่างที่มีการกำหนดแรงเรื่อง โนเมนต์บิดและโนเมนต์ดัดประลัยที่มีค่าแตกต่างกัน ตารางที่ 2 ตัวอย่างทดสอบ

ตัวอย่างที่	Vu (กก.)	Tu (กก.-ม.)	Mu (กก.-ม.)
1	27,216	4,148	57,934
2	20,904	1,326	39,524
3	12,339	1,785	29,776

การทดสอบประสิทธิภาพและการเลือกใช้พารามิเตอร์ที่เหมาะสมสำหรับการใช้งานของ WSA ได้แบ่งออกเป็น 3 ส่วน ได้แก่

- 1) การทดสอบทางสถิติเพื่อหา Itr_{max} ที่เหมาะสมต่อการใช้งานซึ่งใช้ตัวอย่างที่ 1 กำหนดค่า Itr_{max} ตั้งแต่ 100 ถึง 500 และปรับเพิ่มครั้งละ 50 โดยกำหนดใช้ WS_{max} เท่ากับ 100 จากนั้น ออกแบบชี้พารามิเตอร์ละ 10 ครั้ง เพื่อนำไปใช้ในการวิเคราะห์ทางสถิติ
 - 2) การทดสอบเพื่อหาจำนวน WS_{max} ที่เหมาะสมต่อการใช้งาน โดยในการทดสอบนี้จะใช้ตัวอย่างที่ 1 เช่นเดียวกัน โดยเลือกใช้ Itr_{max} ที่เหมาะสมจากการทดสอบทางสถิติในข้อที่ 1 และกำหนดค่า WS_{max} ตั้งแต่ 100 ถึง 400 ปรับเพิ่มครั้งละ 50 จากนั้น ออกแบบชี้พารามิเตอร์ละ 10 ครั้ง เช่นเดียวกัน
 - 3) การนำค่า Itr_{max} และ WS_{max} ออกแบบกับตัวอย่างอื่น เพื่อหาค่าตอบที่เหมาะสมและเบริยบเทียบผลการออกแบบกับงานวิจัยที่ผ่านมา

7. ผลการทดสอบ

ผลการทดสอบการเลือกใช้ค่า Itr_{max} โดยกำหนดใช้จำนวน WS_{max} เท่ากับ 100 ทดสอบค่าละ 10 ครั้งแสดงในตารางที่ 3 พบร้า การเลือกใช้ Itr_{max} ตั้งแต่ 350 ได้รับค่าตอบที่เหมาะสมที่มีราคาเท่ากับ 2,348 บาท/ม. โดยที่การเลือกใช้ Itr_{max} เท่ากับ 350 ได้รับค่าความแปรปรวนและค่าส่วนเบี่ยงเบนมาตรฐานน้อยที่สุดโดยที่ราคาเฉลี่ยต่างจาก Itr_{max} เท่ากับ 500 เพียง 2 บาท/ม. เท่านั้นดังนั้น งานวิจัยนี้จึงเลือกใช้ Itr_{max} เท่ากับ 350 ที่มีค่าทางสถิติที่ใกล้เคียงกับ 500 และใช้เวลาออกแบบที่น้อยกว่า

ตารางที่ 3 ผลกระทบสถิติการกำหนดจำนวนรอบ

$l_{tr_{max}}$ (รอบ)	ค่า ต่ำสุด (บาท)	ค่า เฉลี่ย (บาท)	ค่าความ แปรปรวน (บาท)	ค่าส่วน เบี่ยงเบน มาตรฐาน (บาท)	เวลา เฉลี่ย (วินาที)
100	2,360	2,373	229	15.1	0.96
150	2,360	2,366	110	10.5	1.20
200	2,348	2,359	149	12.2	1.48
250	2,360	2,364	52	7.2	1.76
300	2,359	2,364	64	8.0	2.00
350	2,348	2,360	23	4.8	2.33
400	2,348	2,359	62	7.9	2.59
450	2,348	2,365	49	7.0	2.91
500	2,348	2,358	29	5.4	3.16

ผลการทดสอบทางสถิติเมื่อกำหนด WS_{max} ค่าต่าง ๆ แสดงในตารางที่ 4 พบว่า ทุกค่าของ WS_{max} ได้รับ คำตอบที่เหมาะสม ในขณะที่ WS_{max} เท่ากับ 300 ได้รับ ค่าเฉลี่ย ค่าความแปรปรวน และค่าส่วนเบี่ยงเบน มาตรฐานน้อยที่สุด ในทางกลับกัน การเลือกใช้ WS_{max} ที่เพิ่มขึ้นกลับไม่ได้ทำให้ค่าทางสถิติดีขึ้นแต่อย่างใด ดังนั้น งานวิจัยนี้จึงเลือกใช้ค่า WS_{max} เท่ากับ 300 ใน การออกแบบกับตัวอย่างอื่น ๆ

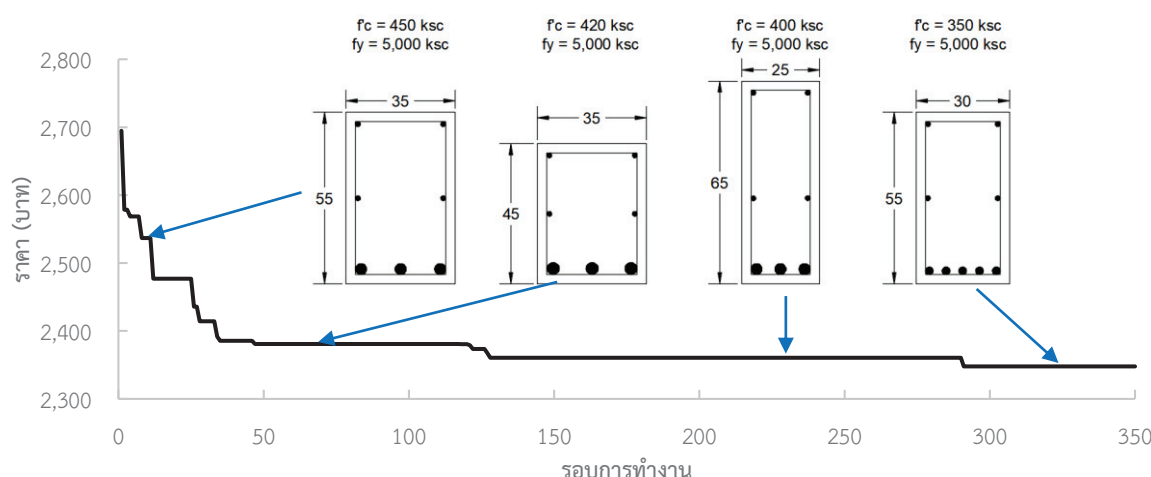
ลักษณะการถูเข้าสู่คำตอบที่เหมาะสมแสดงในรูปที่ 4 พบว่า มีลักษณะที่เร็วมากในช่วง 50 รอบ คล้ายกับการ ตกเข้า จากนั้น WSA มีลักษณะการค้นพบคำตอบที่ เหมาะสมเป็นระยะ ๆ จนหยุดการทำงาน นอกจากนี้ การ

เลือกใช้ f'_c ขนาดหน้าตัดคานและปริมาณเหล็กเสริมมี อัตราการลดลงอย่างต่อเนื่องตามจำนวนรอบที่เพิ่มขึ้น

ตารางที่ 4 ผลกระทบสถิติการกำหนดจำนวนจิงเจี้ยน้ำ

WS_{max} (ตัว)	ค่า ต่ำสุด (บาท)	ค่าเฉลี่ย (บาท)	ค่าความ แปรปรวน (บาท)	ค่าส่วน เบี่ยงเบน มาตรฐาน (บาท)	เวลา เฉลี่ย (วินาที)
100	2,348	2,357	92.8	9.6	2.33
150	2,348	2,359	42.5	6.5	3.39
200	2,348	2,358	85.1	9.2	4.64
250	2,348	2,357	90.1	9.5	5.96
300	2,348	2,354	38.3	6.2	6.85
350	2,348	2,356	43.8	6.6	7.94
400	2,348	2,355	41.2	6.4	8.96

ผลการออกแบบที่เหมาะสมของ WSA ทั้ง 3 ตัวอย่าง เมื่อเลือกใช้ $l_{tr_{max}}$ เท่ากับ 350 และ WS_{max} เท่ากับ 300 แสดงในตารางที่ 5 พบว่า WSA เลือกใช้กำลังของ คอนกรีตและเหล็กเสริมที่สูงกว่าวิธีดั้งเดิม [12] ทุก ตัวอย่าง จึงทำให้ผลการออกแบบมีหน้าตัดที่เล็กกว่า และมีปริมาณเหล็กเสริมที่น้อยกว่าทุกตัวอย่าง ดังนั้น จึง ทำให้ผลการออกแบบคอนกรีตเสริมเหล็กของ WSA มีความประหายดมากกว่าในทุกตัวอย่างร้อยละ 19.6 27.6 และ 16.9 ตามลำดับ



รูปที่ 4 ลักษณะการถูเข้าสู่คำตอบที่เหมาะสม



ตารางที่ 5 การเปรียบเทียบผลการออกแบบที่เหมาะสมสมรรถห่วงวิธีดึงเดิมและ WSA

ตัวแปรออกแบบ	ตัวอย่างที่ 1		ตัวอย่างที่ 2		ตัวอย่างที่ 3	
	แบบดึงเดิม [12]	WSA	แบบดึงเดิม [12]	WSA	แบบดึงเดิม [12]	WSA
f'_c (กก./ซม. ²)	280	350	250	350	300	420
f_y (กก./ซม. ²)	4,000	5,000	4,000	5,000	4,000	5,000
B (ซม.)	41	30	35	20	30	20
H (ซม.)	66	55	50	50	50	50
เหล็กเสริมบน, As1	2#4	2-DB16	2-DB20	2-DB16	2-DB12	2-DB16
เหล็กเสริมกลาง, As2	2#4	2-DB16	2-DB12	2-DB16	2-DB12	2-DB16
เหล็กเสริมล่าง, As3	5#8	6-DB25	6-DB25	3-DB32	4-DB25	2-DB32
เหล็กป้องกัน	#4@17.78 ซม.	DB16@40 ซม.	DB12@15 ซม.	DB10@25 ซม.	DB12@17.5 ซม.	DB16@50 ซม.
ราคารวม (บาท/ม.)	2,921	2,348	2,466	1,786	2,040	1,695
ร้อยละความแตกต่าง		19.6		27.6		16.9

8. สรุปผลการทดสอบ

ผลการประยุกต์ใช้วิธีจิงโจ้คำนวณรับการออกแบบที่เหมาะสมสมของคานคอนกรีตเสริมเหล็กพบว่า วิธีจิงโจ้คำนวณเป็นวิธีการใหม่ที่มีขั้นตอนการทำงานไม่ซับซ้อนและมีความย่างต่อประยุกต์ใช้คำนวณรับออกแบบคานคอนกรีตเสริมเหล็กรับไม้เมนต์ดัดร่วมกับไม้เมนต์บิด อีกทั้งยังพบว่า การเลือกใช้จำนวนรอบการทำงานสูงสุดเท่ากับ 350 รอบและจำนวนจิงโจ้คำนวณสูงสุดเท่ากับ 300 ตัว ได้รับผลการวิเคราะห์ทางสถิติที่สุด นอกจากนี้ ผลการออกแบบที่เหมาะสมสมของวิธีจิงโจ้คำนวณเลือกใช้กำลังอัดคอกนกรีตและกำลังรับแรงดึงที่จุดครากของเหล็กเสริมที่สูงกว่า ส่งผลให้ขนาดหน้าตัดและปริมาณเหล็กเสริมในคานมีค่าน้อยกว่าวิธีดึงเดิม จึงทำให้วิธีจิงโจ้คำนวณได้รับผลการออกแบบที่มีความประayahดกว่าวิธีทั่วไปร้อยละ 16.90 ถึง 27.60

9. กิตติกรรมประกาศ

ผู้เขียนขอขอบพระคุณมหาวิทยาลัยเทคโนโลยีราชมงคลล้านนา วิทยาเขตขอนแก่นที่สนับสนุนงานวิจัยในครั้งนี้

10. เอกสารอ้างอิง

- [1] D. Hu and J. Bush, "The hydrodynamics of water-walking arthropods," *Journal of Fluid Mechanics*, vol. 644, no. 1, pp. 5-33, 2010.

- [2] A. Kaveh and D. A. Eslamlou, "Water strider algorithm: A new metaheuristic and applications," *Structures*, vol. 25, no. 1, pp. 520-541, 2020.
- [3] F. Herrera, M. Lozano and D. Molina, "Test suite for the special issue of soft computing on scalability of evolutionary algorithms and other metaheuristics for large scale continuous optimization problems," Technical report, SCI2S, University of Granada, Spain, 2010.
- [4] C. Coello, "Use of a self-adaptive penalty approach for engineering optimization problems," *Computers in Industry*, vol. 41, no. 2, pp. 113-127, 2000.
- [5] T. Ray and P. Saini, "Engineering design optimization using a swarm with an intelligent information sharing among individuals," *Engineering Optimization*, vol. 33, no. 6, pp. 735-748, 2001.
- [6] B. Kannan and S. Kramer, "An augmented lagrange multiplier based method for mixed integer discrete continuous optimization and its applications to mechanical design," *Journal of mechanical design*, vol. 116, no. 2, pp. 405-411, 1994.



- [7] H. Chickermane and H. Gea, "Structural optimization using a new local approximation method," *International Journal for Numerical Methods in Engineering*, vol. 39, no. 5, pp. 829-846, 1996.
- [8] S. Gerist and M. Maher, "Structural damage detection using imperialist competitive algorithm and damage function," *Applied Soft Computing*, vol. 77, no. 1, pp. 1-23, 2019.
- [9] A. Kaveh and M. Moradveisi, "Optimal design of double-layer barrel vaults using CBO and ECBO algorithms," *Iranian Journal of Science and Technology, Transactions of Civil Engineering*, vol. 40, no. 3, pp. 167-178, 2016.
- [10] ACI American Concrete Institute, *Building Code Requirements for Structural Concrete and Commentary (ACI 318-11)*, Detroit: America, 2011.
- [11] Office of the Basic Education Commission, *Cost of construction materials and labor costs*, Bangkok, 2020.
- [12] T. Macginley and B. Choo, *Reinforced concrete design theory and examples*, Newyork: America, 2014.